

# 轴流风机叶片在离心力作用下产生的扭矩及其平衡问题

张春霖 (哈尔滨船舶锅炉涡轮机研究所)

〔摘要〕 讨论了轴流风机叶片在离心力作用下的扭转力矩及平衡块设计问题。介绍了叶片扭矩的计算方法和平衡块设计的解析式。证明了不同安装角下的平衡效果。

关键词 轴流风机 叶片 扭矩 计算

## 符 号

$P$ —离心力

$R_i$ —微元所在的旋转半径

$\alpha$ —微元回转半径与旋转平面的夹角

$\beta$ —微元旋转半径与通过叶片轴线的子午平面间的夹角

$\rho$ —材料密度[ $\text{kg}/\text{dm}^3$ ]

$\omega$ —角速度[ $\text{rad}/\text{s}$ ]

$\alpha_0$ —叶片基准截面的安装角(与切向的夹角)

$\alpha$ —计算截面安装角与基准截面安装角之差

$x, y$ —叶型座标[ $\text{m}$ ]

$x_0, y_0$ —叶型叠加中心(一般是重心)的座标[ $\text{m}$ ]

$C$ —计算截面叶型的最大厚度[ $\text{m}$ ]

$\bar{c}$ —叶型在计算点的相对厚度

$dR$ —旋转半径方向的增量

$dr$ —叶型弦线方向的增量

$r_p$ —计算回转半径[ $\text{m}$ ]

$r_0, r_1, r_2, r_2'$ —各特征回转半径[ $\text{m}$ ]

$M_N$ —扭转力矩[ $\text{N} \cdot \text{m}$ ]

$M_{N\max}$ —最大扭矩力矩[ $\text{N} \cdot \text{m}$ ]

$M_T$ —弯曲力矩[ $\text{N} \cdot \text{m}$ ]

$\alpha_1, \alpha_2$ —平衡块的两个侧子午面与旋转平面的夹角[ $\text{rad}$ ]

$\theta$ —两个子午面间的夹角[ $\text{rad}$ ]

$R_0, R_2$ —平衡块两个端面所在的旋转半径[ $\text{m}$ ]

$K$ —平衡块外缘圆锥母线的斜率

$$K = \frac{r_{21}}{R_1} = \frac{r_{22}}{R_2}$$

$K_1$ —圆锥母线的斜率

$$K_1 = \frac{R_1 - R_2}{r_1 - r_0}$$

$R'$ —该母线的圆锥顶点的半径下标

$L$ —叶片

$B$ —平衡块

## 1 引 言

在轴流式叶片机械中, 每只叶片除承受拉伸力之外, 还受两个力矩的作用: 一个是弯曲力矩, 一个是扭转力矩。在压气机的设计中, 弯曲力矩是很受重视的。人们常常使较长的叶片的离心弯矩与气动力矩相平衡, 以此改善叶片的应力状态。至于扭转力矩, 由于普通的压气机或涡轮中, 其量值很小, 往往不被注意。而对于低压通风机而言, 由于叶片数目较少, 每只叶片都占据比较大的圆周角, 这个力矩有时就不容忽视了。特别是对广泛采用的动叶可调式的轴流通风机, 如果处理不好, 这个力矩可能会带来一些麻烦, 或者使得执行机构难于

收稿日期 1991-01-29

本文联系人 张春霖 150036

工作，或者是动叶自动恢复到关闭状态。这种情况，在国内的一些实践中，已经遇到过，但还未曾见过有关的报导。

显而易见，与上述的弯矩问题相似，在条件允许时，平衡块的设计应同时考虑离心扭矩和气动扭矩的影响，更为合理。遗憾的是，对于低速风机叶型，一般不具备这种资料。此外，气动扭矩远远小于离心扭矩，不考虑它的影响，也是可以的。

这里，对扭转力矩的计算、平衡块的设计以及平衡效果的分析进行简单的分析和讨论。

## 2 轴流风机叶片在离心力作用下的扭矩

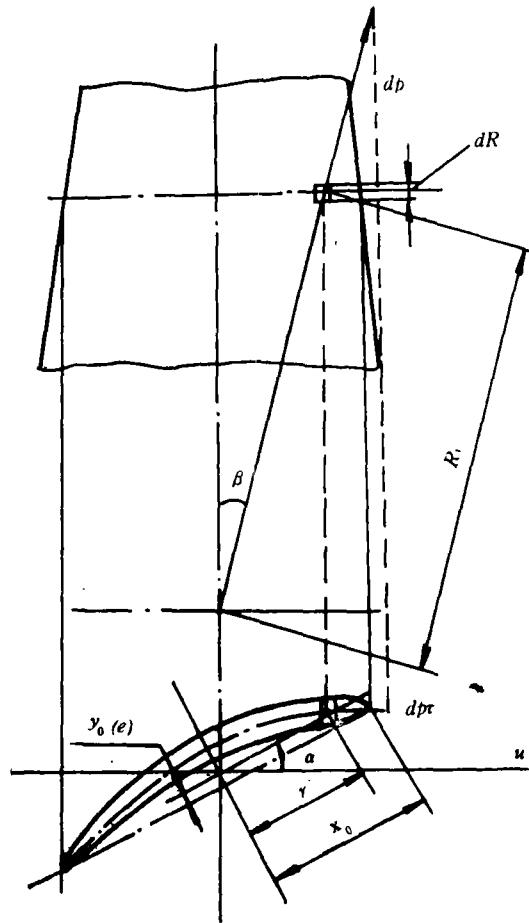


图1 叶片的离心力扭矩

如图1所示，叶片微元质量在离心力作用下产生的扭矩可表示如下

$$dM_N = \frac{\sin 2\alpha}{2} \omega^2 \rho \cdot h \cdot r_1^2 \cdot dR \cdot dr \quad (1)$$

为了使用方便，进行一下座标变换，把座标系与叶型常使用的座标统一起来。此外把 $\alpha$ 角写成基准截面的安装角、计算截面与基准截面安装角之差和计算微元的回转半径与叶弦间

的夹角，三个角和的形式，最后进行积分，得到如下公式

$$M_N = \frac{\rho\omega^2}{2} \int dR \left[ \sin \left[ 2 \left[ \alpha_0 + \alpha_{an} + \text{Arctg} \left( \frac{y-y_0}{x-x_0} \right) \right] \right] C \cdot \bar{c} \cdot [(x-x_0)^2 + (y-y_0)^2] \right. \\ \left. dr \cdot 10^3 [\text{N} \cdot \text{m}] \right] \tag{2}$$

在进行二重积分的数值计算之前，当然还必需求出 $x_0$ 及 $y_0$ 。

### 3 最大和最小扭矩安装角

让我们对式(2)进行一下简单的分析。把式中的正弦函数按和角公式展开，经整理，可得到如下形式的表达式：

$$M_N = M_1 \cdot \sin 2\alpha_0 + M_2 \cdot \cos 2\alpha_0 \tag{3}$$

其中

$$M_1 = \frac{\rho\omega^2}{2} \int dR \left[ \cos 2 \left[ \alpha_{an} + \text{Arctg} \left( \frac{y-y_0}{x-x_0} \right) \right] \cdot C \cdot \bar{c} \cdot [(x-x_0)^2 + (y-y_0)^2] \cdot dr \right] \tag{4}$$

$$M_2 = \frac{\rho\omega^2}{2} \int dR \left[ \sin 2 \left[ \alpha_{an} + \text{Arctg} \left( \frac{y-y_0}{x-x_0} \right) \right] \cdot C \cdot \bar{c} \cdot [(x-x_0)^2 + (y-y_0)^2] \cdot dr \right] \tag{5}$$

$M_1$ 和 $M_2$ 是两个常量。对不弯又不扭的叶片 $M_2 = 0$ 。

容易看出式(3)还可以化成如下形式

$$M_N = M_{N\max} \cdot \sin 2(\alpha_0 + \gamma) \tag{6}$$

这时

$$M_{N\max} = \sqrt{M_1^2 + M_2^2} \tag{7}$$

$$r = \frac{1}{2} \text{Arcsin} \frac{M_2}{\sqrt{M_1^2 + M_2^2}} \tag{8}$$

这就证明了式(2)实质上是一个 $\pi$ 为周期的正弦函数，而不仅仅是近似的正弦函数。这一点很重要。因为这涉及到是否能在不同安装角下都能完全平衡的问题。可以用式(4—8)把这个正弦曲线解出来。这时“0”扭矩安装角也就同时被求出：

$$\alpha_0(M_N = 0) = -\gamma_0$$

在工程上，当然也可以用式(2)直接计算，只要把 $\alpha_0$ 看成是变量，给出不同的 $\alpha_0$ 值，计算出相应的 $M_N$ 值，进而求出最大扭矩安装角和最大扭矩值。在这基础上，可进行平衡块的设计。

图2是对某叶片的计算结果。为便于比较，图上还给出了同一叶型的“只弯不扭”、“只扭不弯”和“不扭不弯”时的扭转力矩的变化规律。从图2可看出：

- a) 扭矩变化是正弦曲线， $180^\circ$ 为一周期。
- b) 对于扭曲又弯曲的叶片，平均半径的“0”安装角，不是“0”扭矩安装角，即 $\gamma \neq 0$ 。
- c) 不弯不扭的叶片，平均半径处的“0”安装角，是“0”扭矩安装角。
- d) 只弯不扭和只扭不弯的叶片，其最小扭矩安装角，在数值上居于不弯不扭与又扭又弯的叶片最小扭矩安装角之间。

e) 最大扭矩力矩，不弯不扭时为最大 [从式(4)也可以看出： $\cos 2 \left[ \alpha_{an} + \text{Arctg} \left( \frac{y-y_0}{x-x_0} \right) \right] \equiv 1; (x-x_0)^2 + (y-y_0)^2 = (r-r_0)^2$ ]，又弯又扭的最小，只扭不弯和只弯不扭的居中。

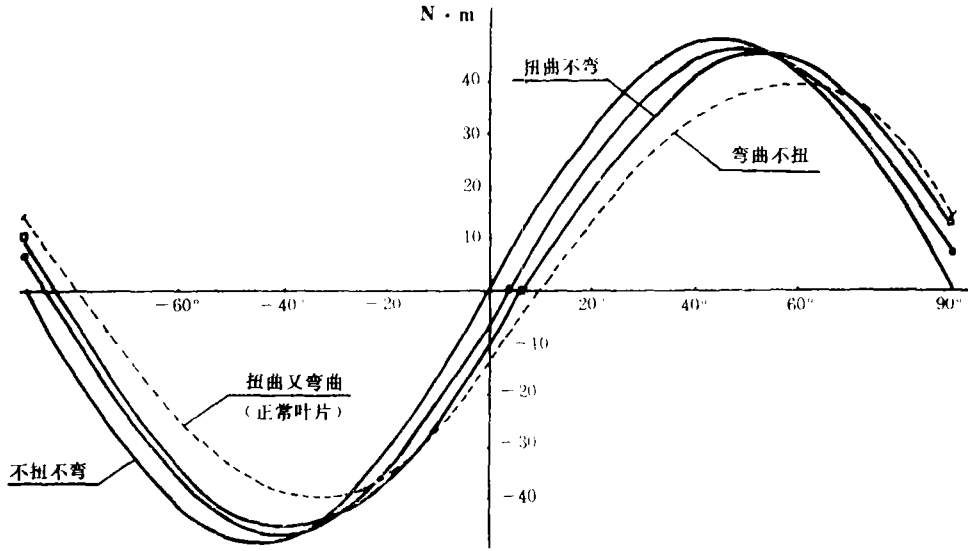


图2 某叶片的计算结果及与特殊叶片比较

f) 最大扭转力扭的量级还是很可观的。对于750 r/min的18号风机的铝叶片就已达到了40~50 N·m。

## 4 平衡块设计

### 4.1 离心扭矩的微分式及平衡设计的一般原则

首先, 让我们也写出一个平衡块扭转力矩的微分式。参照式(1)对于图3, 可直接写出微元的扭矩:

$$dM_N = \frac{\sin 2\alpha}{2} \omega^2 \cdot \rho \cdot r^3 \cdot dR \cdot dr \cdot d\alpha \quad (9)$$

这是比式(1)更为通用的表达式, 式中 $r d\alpha$ 代替了原来的 $h$ 。

平衡块设计的一般原则显然应该是, 自身重量小, 抗弯强度可靠。在此基础上, 任意安装角下, 剩余扭矩都为零(尽量小)。

根据总体设计的要求, 可把平衡块设计成不同形状。按式(8)求取积分, 便可得到扭矩值。显然, 平衡质量分布在较大的半径上, 可减小平衡块的重量。为此, 有时可以把平衡块设计成单臂式的。但是, 单臂式的平衡块回转半径较大。当叶片需要转 $180^\circ$ 时, 相互干扰。此外, 弯矩较大, 并传到叶片轴上, 也是一个缺点。相反, 双臂式的, 回转半径小, 弯矩相互平衡, 不传到叶片轴上。但是, 这时为减轻平衡块的重量, 在最大半径受到限制的情况下, 如何使质量尽量分布较大的半径上, 就显得更加突出。

在计算上, 单臂式与双臂式的几乎没有区别。这里主要讨论两种较典型的平衡块的计算。

### 4.2 等厚度平衡块的计算

取以下“表面”围成的平衡块

$$\begin{cases} \alpha_1 = \text{const} \\ \alpha_2 = \text{const} \end{cases} \quad \begin{cases} R_1 = \text{const} \\ R_2 = \text{const} \end{cases} \quad \begin{cases} r_1 = \text{const} \\ r_2 = KR, r_{21} = KR; r_{22} = KR_2 \end{cases}$$

对式(9)进行积分, 得到扭矩计算公式如下

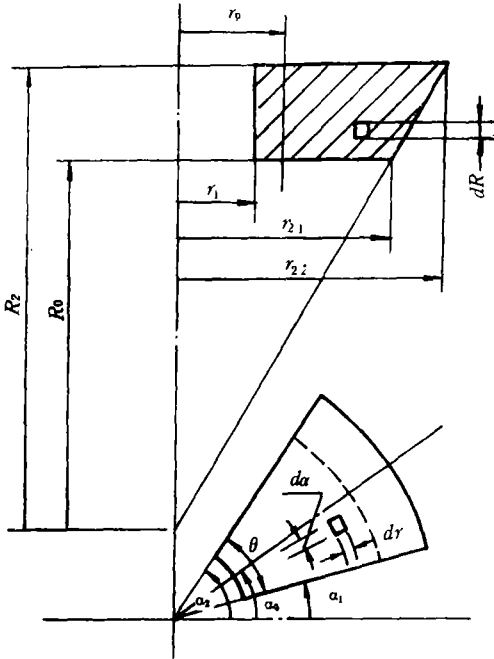


图 3 平衡块计算

$$M_N = \frac{\rho\omega^2}{2} (\cos 2\alpha_1 - \cos 2\alpha_2) \cdot \frac{1}{k} [(r_{22}^5 - r_{21}^5)/5 - r_1^4(r_{22} - r_{21})] \cdot 10^3 \text{ [N} \cdot \text{m]} \quad (10)$$

在结构设计时, 选择 $r_1$ 等于固定用的环形部份的外径; 而内径 $r_{in}$ 应为叶片轴与之配合部位的半径。这环形部份自身是平衡的, 故不必参与扭矩计算。

式(10)另一种便于计算的形式是:

$$M_N = \frac{\rho\omega^2}{8} \sin\theta \cdot \sin 2\alpha_0 \cdot \frac{1}{k} [(r_{22}^5 - r_{21}^5)/5 - r_1^4(r_{22} - r_{21})] \cdot 10^3 \quad (11)$$

$\sin\theta$ , 可看成是角度 $\theta$ 影响的有效系数。

为了验算平衡块的弯曲强度。用类似于求扭矩的办法, 可推导出弯矩的公式。

对 $r_p$ 截面的弯矩可写出

$$M_V = \omega^2\theta\theta \left[ \int_{R_0}^{R_2} R dR \int_{r_p}^{r_2(R)} r^2 dr - r_p \int_{R_0}^{R_2} R dR \int_{r_p}^{r_2(R)} r \cdot dr \right] \quad (12)$$

$$M_V = \frac{\omega\rho\theta}{K^2} \left[ \left[ \frac{1}{15} (r_{22}^5 - r_{21}^5) - \frac{1}{8} r_p (r_{22}^4 - r_{21}^4) \right] + \frac{1}{12} r_p^3 (r_{22}^2 - r_{21}^2) \right] \cdot 10^3 \text{ [N} \cdot \text{m]} \quad (13)$$

通常, 危险截面是 $r_1$ 。令 $r_p = r_1$ , 便可计算出危险截面的弯矩。

### 4.3 非等厚度的平衡块

为在不增加重量的情况下, 提高平衡扭矩, 同时又使弯曲应力比较低, 采用图4 的结构应该比较合理。

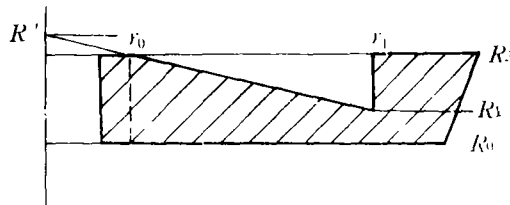


图 4 不等厚度平衡块

这时,  $r = r_p$ 处的扭矩和弯矩的解析式分别是:

$$M_N = \frac{\rho\omega^2}{16} [\cos 2\alpha_1 - \cos 2\alpha_2] \left[ \frac{1}{K} [(r_{22}^5 - r_{21}^5)/5 - r_p^4(r_{22} - r_{21})] + [k_1(r_1^5 - r_p^5) \times \frac{4}{5} + (R' - R_2)(r_1^4 - r_p^4)] \right] \cdot 10^3 \text{ [N} \cdot \text{m]} \quad (14)$$

$$M_V = \frac{\rho\omega^2\theta}{2k^2} \left[ \left[ \frac{(r_{22}^5 - r_{21}^5)}{15} - r_p(r_{22}^4 - r_{21}^4)/8 \right] - \left[ \frac{1}{12} r_p^3(r_{22}^2 - r_{21}^2) \right] \right] - k_1^2 \left[ \frac{(r_1^5 - r_p^5)}{5} - (2R'k_1 - r_p k_1^2)(r_1^4 - r_p^4)/4 + (R_2^2 - R'^2 + r_p \cdot 2k_1 R') \cdot (r_1^3 - r_p^3)/3 - r_p(R_2^2 - R'^2)(r_1^2 - r_p^2)/2 \right] \times 10^3 \text{ [N} \cdot \text{m]} \quad (15)$$

式(12)还可写成更便于计算与分析的形式。

$$M_N = \frac{\rho\omega^2}{8} \sin\theta \cdot \sin 2\alpha_0 \left[ \frac{1}{k} \left[ (r_{22}^5 - r_{21}^5)/5 - r_p^4(r_{22} - r_{21}) \right] + \left[ k_1(r_1^5 - r_p^5) \times \frac{4}{5} + (R' - R_2)(r_1^4 - r_p^4) \right] \right] \times 10^3 \text{ [N} \cdot \text{m]} \quad (16)$$

$r_p$ 可以是 $r_0 \sim r_1$ 间的任意值。

#### 4.4 平衡效果的分析

现在, 让我们把叶片的与平衡块的扭矩公式比较一下:

对于叶片, 写出式(6)

$$M_{NL} = (M_{N_{\max}})_L \cdot \sin 2(\alpha_{OL} + \gamma) \quad (17)$$

而对平衡块, 把(16)写成如下形式

$$M_{NB} = (M_{N_{\max}})_B \cdot \sin 2\alpha_{OB} \quad (18)$$

$$(M_{N_{\max}})_B = \frac{\rho\omega^2}{8} \sin\theta \left[ \frac{1}{k} \left[ (r_{22}^5 - r_{21}^5)/5 - r_p^4(r_{22} - r_{21}) \right] + \left[ k_1(r_1^5 - r_p^5) \times \frac{4}{5} + (R' - R_2)(r_1^4 - r_p^4) \right] \right] \times 10^3 \text{ [N} \cdot \text{m]} \quad (19)$$

将式(17), (18)相加, 令其等于“0”。

$$M_{NL} + M_{NB} = (M_{N_{\max}})_L \cdot \sin 2(\alpha_{OL} + \gamma) + (M_{N_{\max}})_B \cdot \sin 2\alpha_{OB} = 0 \quad (20)$$

为使叶片的扭矩最大时, 能完全平衡, 显然应该有

$$(M_{N_{\max}})_B = (M_{N_{\max}})_L = M_{N_{\max}} \quad (21)$$

$$\text{于是 } M_{N_{\max}} [\sin 2(\alpha_{OL} + \gamma) + \sin 2\alpha_{OB}] = 0 \quad (22)$$

$$\text{因此 } 2\sin(\alpha_{OL} + \gamma + \alpha_{OB}) \cdot \cos(\alpha_{OL} + \gamma - \alpha_{OB}) = 0 \quad (23)$$

$$\text{由 } \sin(\alpha_{OL} + \gamma + \alpha_{OB}) = 0 \text{ 应有 } \alpha_{OL} + \gamma + \alpha_{OB} = 0 \quad \alpha_{OB} = -(\alpha_{OL} + \gamma) \quad (24)$$

对于固定安装角的叶片, 可以这样进行平衡是显而易见的。然而, 对于可变动叶安装角的情况, 就不同了。从 $\cos(\alpha_{OL} + \gamma - \alpha_{OB}) = 0$ 有

$$\alpha_{OL} + \gamma - \alpha_{OB} = \pm \frac{\pi}{2} \quad \therefore \alpha_{OB} = \alpha_{OL} + \gamma \pm \frac{\pi}{2} \quad (25)$$

对于可变动叶安装角的情况, 只能按式(25)进行平衡。

归纳起来, 可以做以下结论:

a) 对于固定安装角的叶片(如果也需要平衡的话), 可以把平衡块装在以切向为对称轴, 与叶片最大扭矩方向对称的位置

b) 对于动叶安装角可调节的情况, 平衡块应装在与叶片最大扭矩方向成直角的位置。若平衡块的最大扭矩与叶片的最大扭矩相等, 则平衡后的扭矩处处为零

## 5 介绍一种比较适用的数值积分公式

简化的辛卜生二次积分公式[3]。

公式推导：分别在  $(0, 1/2, 1)$  及  $(n-1, n-1/2, n)$  区间和  $(1-n-1)$  区间使用辛卜生公式：

$$\frac{h}{3} \left( \left( \frac{1}{2}y_0 + \frac{4}{2}y_{1/2} + \frac{1}{2}y_1 \right) + \left( \frac{1}{2}y_{n-1} + \frac{4}{2}y_{n-1/2} + \frac{1}{2}y_n \right) \right) + y + 4y_2 + \dots + y_{n-1}$$

相加，经整理，便可得到

$$I = \frac{x}{n} \left[ \frac{3}{12}y_0 + \frac{4}{12}y_{1/2} + \frac{11}{12}y_1 + y_2 + \dots + \frac{11}{12}y_{n-1} + \frac{4}{12}y_{n-1/2} + \frac{3}{12}y_n \right]$$

这就是所求的简化辛卜生二次积分公式。

上面是对结点数奇数的情况推导的。实际上，结点数偶数时，公式的形式完全相同。分别在  $(0, 1/2, 1)$  及  $(1 \sim n)$  区间用辛卜生公式，然后再对  $(0 \sim n \sim 1)$ ， $(n-1, n-1/2, n)$  区间应用辛卜生公式，最后相加，便得到完全相同形式的公式。

简化的辛卜生二次积分公式，能在偶数结点时使用，是对经典的辛卜生公式的重大改进。此外，它的精度比较高，结构上与矩形公式相近，比较直观，不易出错等优点，也都很显著。

### 6 结 束 语

在通风机设计中，动叶的扭矩平衡计算很烦琐。叶片的几何特性和扭矩计算，多次用到数值积分。由图2可知，计算中是不宜做简化处理的，若叶型参数沿径取某种平均值，则会引入更大的误差。具体如何进行较精确的计算，这里没有必要赘述。但是，笔者的体会是，选择适当的积分公式和积分方法，也可以带来一些方便。根据具体情况，选择参考文献[1]，[2]或[3]中的公式，比常规的公式要方便得多。其中[3]中的简化辛卜生二次积分公式很实用。由于一般手册中没有给出，本文也做了简单介绍。该公式，在很多数值积分的场合都是很适用的。

在准确计算出叶片扭矩的基础上，应用本文给出的平衡块设计的解析式，可很方便的设计出比较理想的平衡块。

### 参 考 文 献

- 1 张春霖. 近似积分公式在叶片机械的测试与计算中的应用. 舰船透平锅炉, 1976(1)
- 2 张春霖. 近似积分原理在叶片机械的测试与计算中的应用——组新的比切比雪夫公式更适用的积分公式. 数值计算与计算机应用, 1981, 2(2)
- 3 Ethridge Noel H. A simple quadrature formula from simpson's rule applicable for ODD or EVEN n. AD-A116 867/3. June. 1982

(李乡复 编辑)  
(下转第167页)

作位置与理论分析的工作位置不尽相同, 主要为:

- 1 当轴承载荷为重力方向时, 轴承的非承载瓦块脱离轴承外壳。
- 2 轴承各承载瓦块的摆角缩小。
- 3 轴承的最小油膜厚度增加。
- 4 个别瓦块(03瓦块)工作位置不正常, 尚待进一步研究。

### 参 考 文 献

- 1 张直明, 张言羊等. 滑动轴承的流体动力润滑理论, 第1版, 北京: 高等教育出版社, 1986
- 2 西安交大基础部轴承研究小组. 可倾瓦径向滑动轴承性能计算. 西安交大科学技术报告, 78-135
- 3 朱钧. 可倾瓦径向滑动轴承最小油膜厚度计算. 西安交大科学技术报告, 78-134

(李乡复 编辑)

## An Exploratory Study of the Swing Relationship of Tilting Pad Journal Bearing Pads

Zhou Dayuan, Qu Jinghe, Jin Zuyao

(Harbin Marine Boiler & Turbine Research Institute)

### Abstract

By telemetering the oil film thickness in a static bearing test the pad varying swing position of a tilting pad journal bearing (without preloading) during the test has been identified and ascertained, which can provide some useful hints in understanding the bearing pad swinging relationship under operating conditions.

**Key words:** *tilting pad journal bearing, oil film thickness, telemetry analysis of test results*

(上接第138页)

## On the Centrifugal Force-induced Torque in Axial Fan Blades and the Related Equilibrium Problem

Zhang Chunlin

(Harbin Marine & Turbine Research Institute)

### Abstract

A discussion on the torque and counter weight design of axial fan blades under the action of a centrifugal force is presented in this paper with a brief description being given of the blade torque calculation method and an analytic expression of counter weight design. The balancing effects at different setting angles have been verified.

**Key words:** *axial flow fan, blade, torque, calculation*